

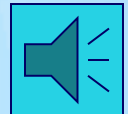
Audio test:



Syntéza Nps –

- chemické metody přípravy

Start

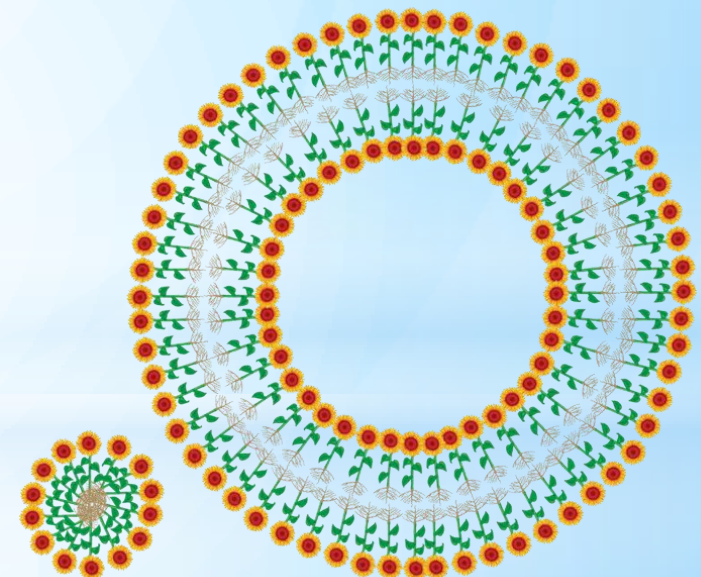


Brno, PS 2012

Přednášející: doc. Jiří Sopoušek E-mail:
sopousek@mail.muni.cz, tel.: 549497138

Office: UKB A12/M231

Ústav chemie: <http://ustavchemie.sci.muni.cz/>

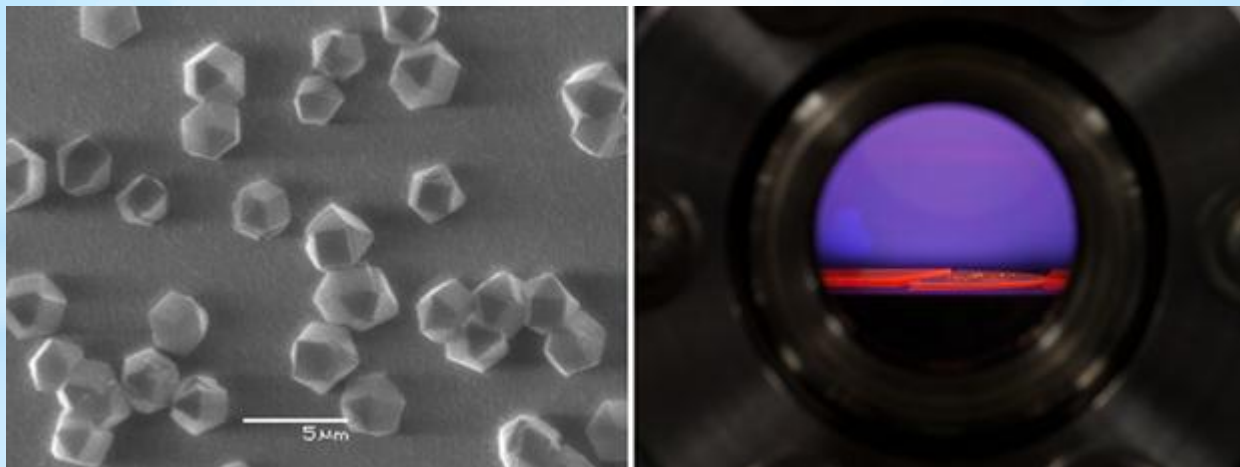


Au-nano

Chemické metody přípravy nanočástic

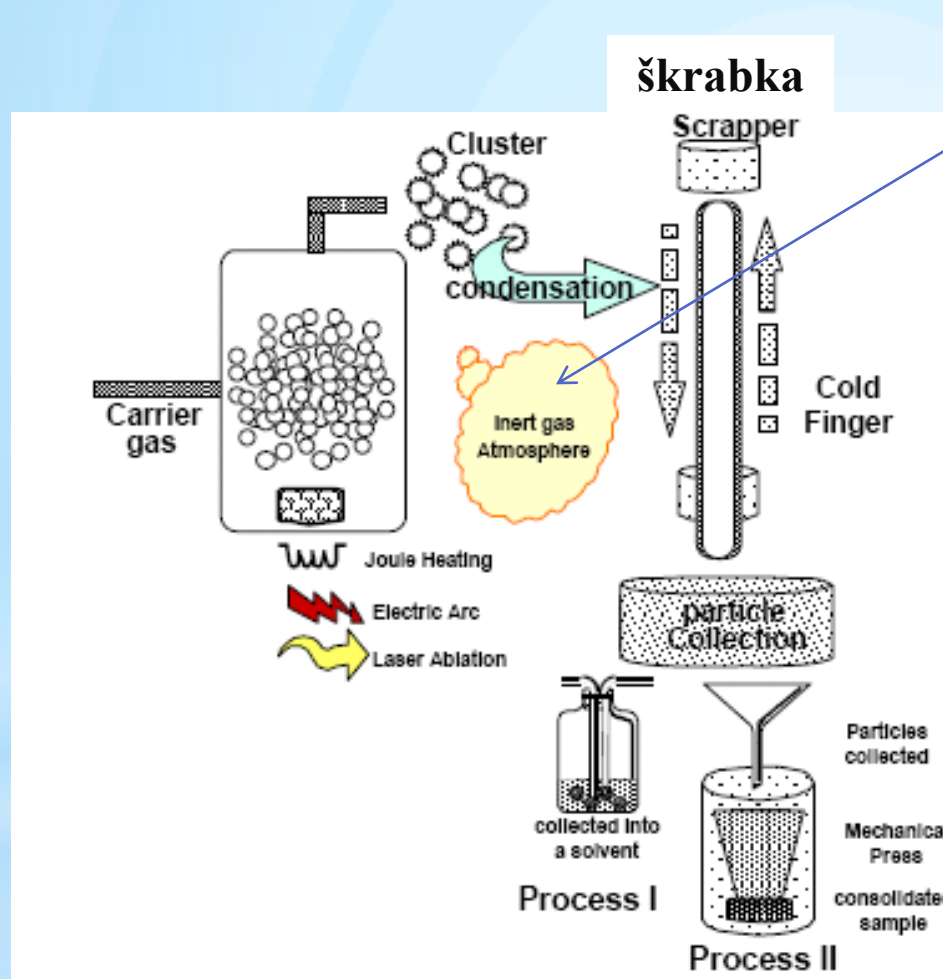
- Chemická syntéza z plynné fáze (Chemical Vapor Deposition – CVD)
- Termický rozpad metastabilních organometalických sloučenin
- Spray pyrolysis
- Koloidní metody
- Sol-gel syntéza
- Srážení
- Z prekurzorů
- Redukční elektrochemické redukce solí kovů
- Combustion synthesis

CVD=PVD +
chemická reakce



CVD pěstování diamantů na substrátu

Kondenzace z plynné fáze doprovázená chemickou reakcí CVD



- Chemická reakce s příměsemi v inertním plynu

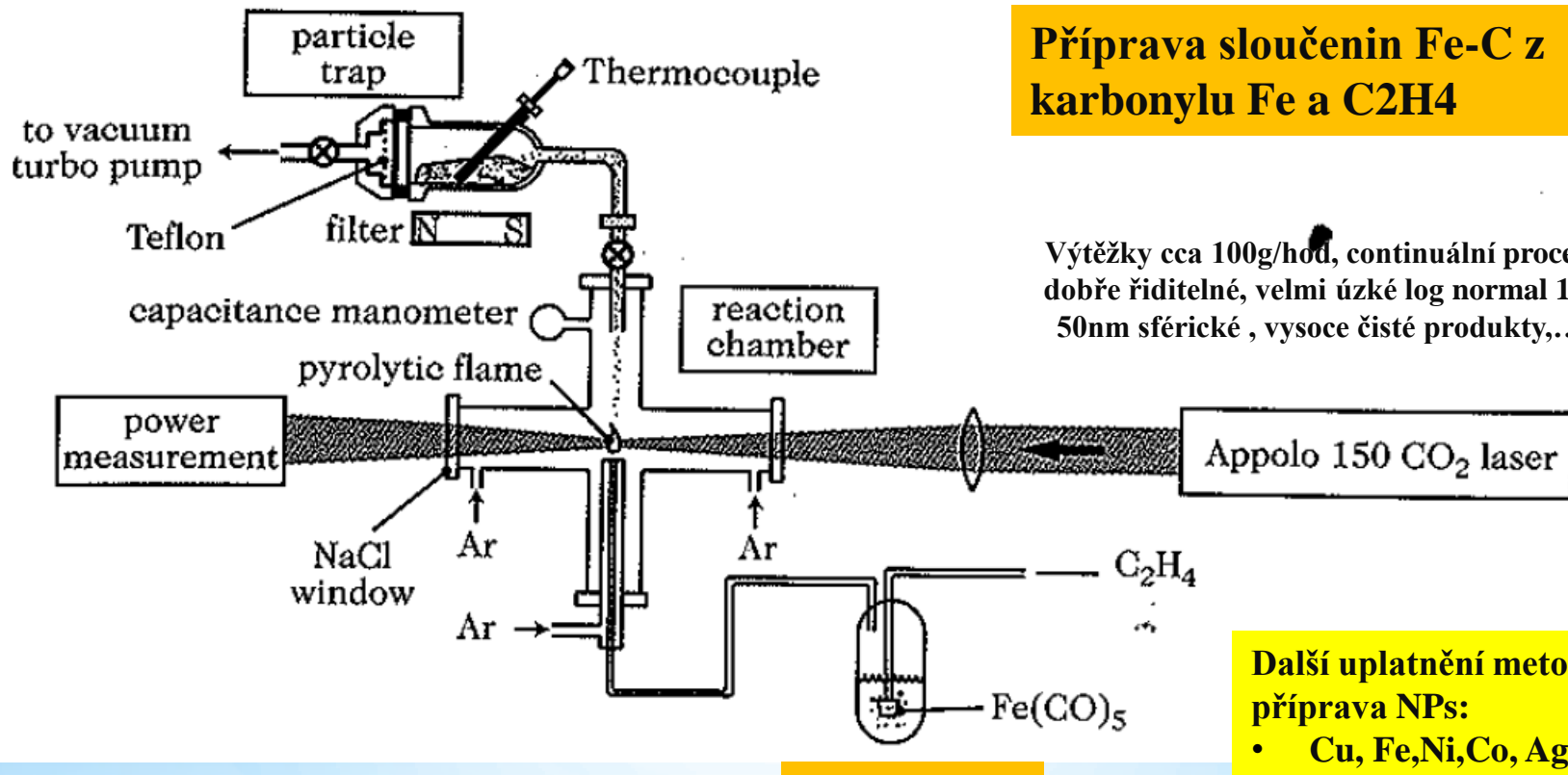
Příklady typů příměsí a produkce NPs:

- O₂...vznik NPs oxidů (Al₂O₃, ZrO₂),
- N₂... nitridy (Si₃N₄, ...)
- C obsahující látky (SiC,
- Páry kovů (NPs slitin a intermetalika,

Přídavek v různé fázi procesu

- Povlakované NPs,
- dual core, ...

Příprava NPs laserovou pyrolýzou

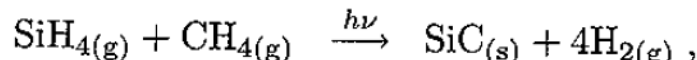
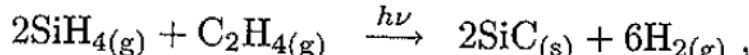
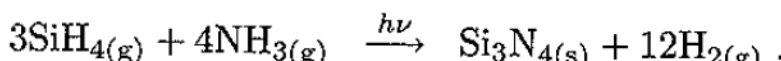
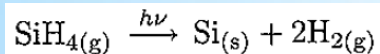


Příprava sloučenin Fe-C z karbonylu Fe a C₂H₄

Výtěžky cca 100g/hod, continuální proces, dobře řiditelné, velmi úzké log normal 15-50nm sférické , vysoce čisté produkty,...

Další alternativy:

Např. využití nestability:

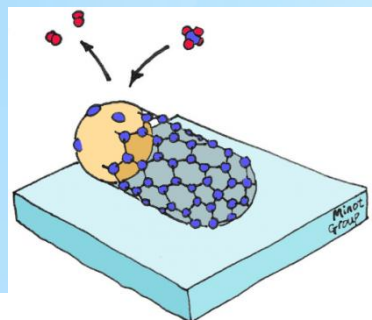


Nanočástice PS 2012

Další uplatnění metody příprava NPs:

- Cu, Fe, Ni, Co, Ag
- Mo
- FeC, B₄C, TiC, WC, TiB₂, YrB₂,
- Al₂O₃, TiO₂, Al₂O₃, ...

Příprava CNTs pomocí CVD



Plyn: process gas (such as ammonia, nitrogen or hydrogen) and a carbon containing gas (such as acetylene, ethylene, ethanol or methane).

Katalyzátor: Ni, Fe, Co a jejich slitiny

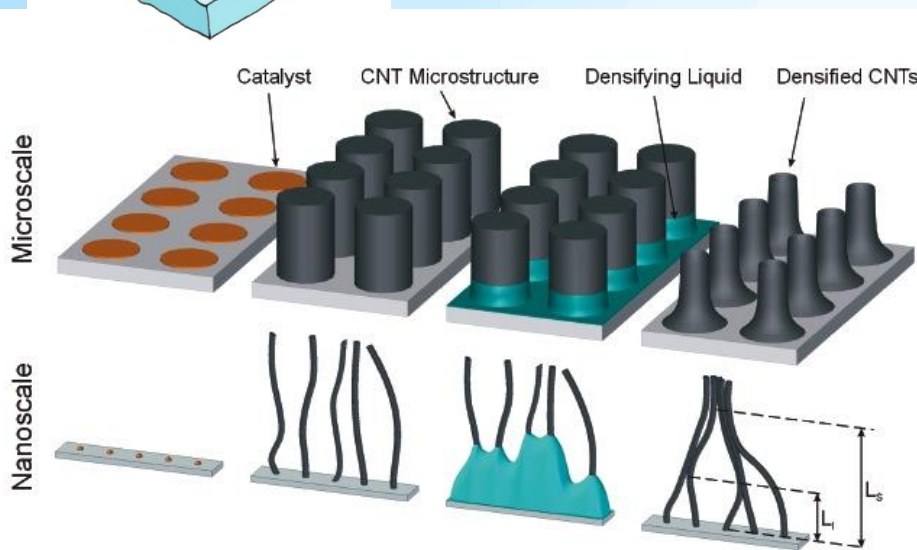


Figure 1. Fabrication of dense CNT micropillars by patterned growth followed by self-directed capillary densification. The densification is initiated by condensation of a solvent onto the substrate.

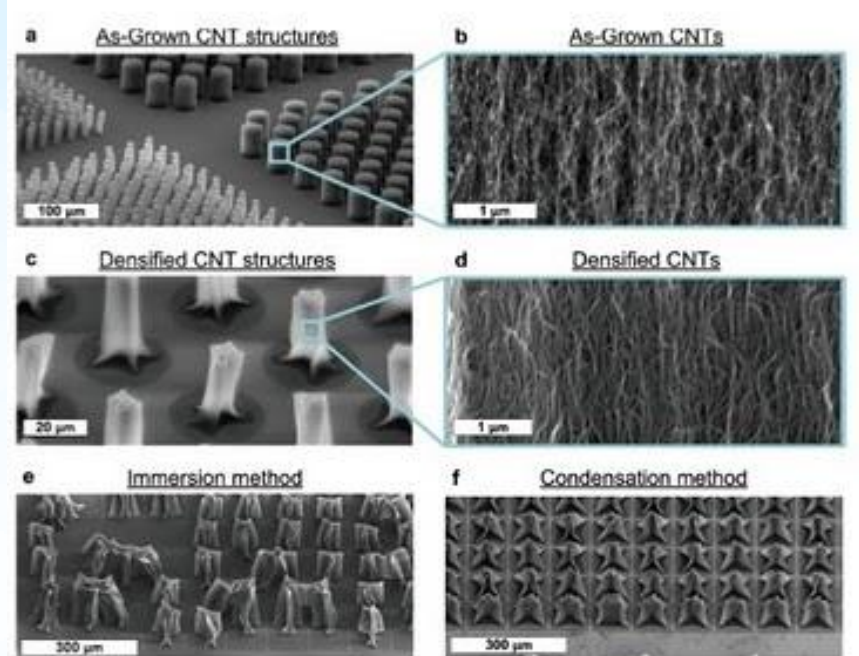


Figure 2. Example SEM images of cylindrical CNT microstructures before (a,b) and after densification (c,d) by the self-directed capillary method. Close-up images (b,d) show the sidewalls of the macrostructures, emphasizing the significant increase in CNT density and the maintenance of the aligned topology. Comparison between vapor densification methods (e): immersion method (f).

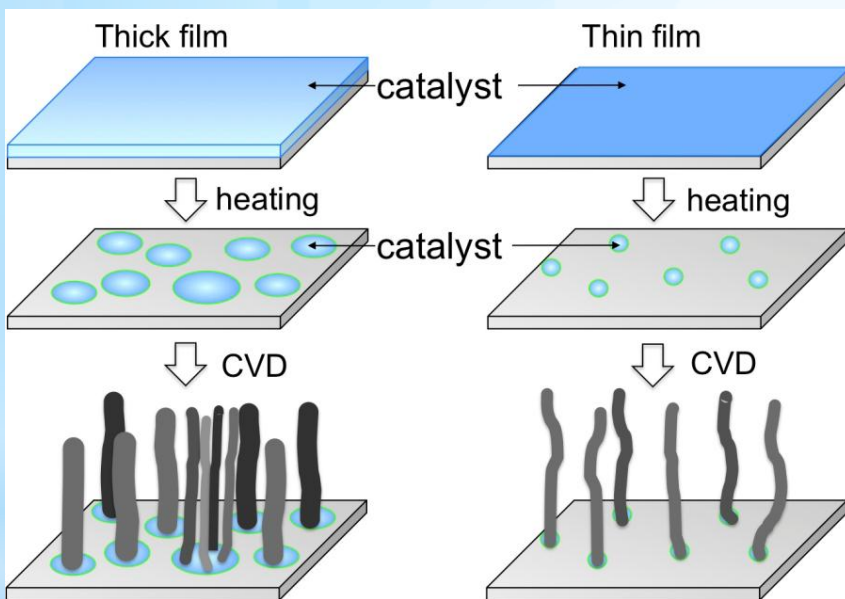
<http://nextbigfuture.com/2010/09/fabrication-and-electrical-integration.html>

<http://www.intechopen.com/books/carbon-nanotubes-synthesis-characterization-applications/aligned-growth-of-single-walled-and-double-walled-carbon-nanotube-films-by-control-of-catalyst-preparation>

<http://www.science.oregonstate.edu/~minote/wiki/doku.php?id=start>

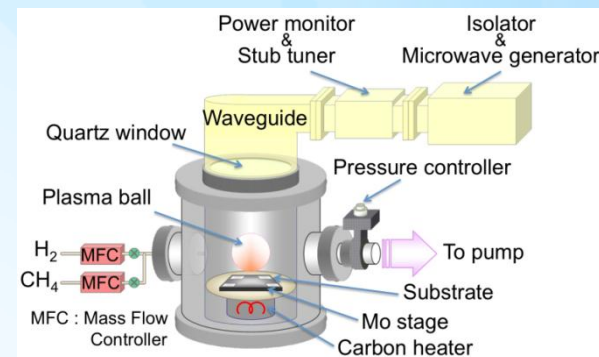
Příprava CNTs

Role katalyzátoru (velká a malá centra)

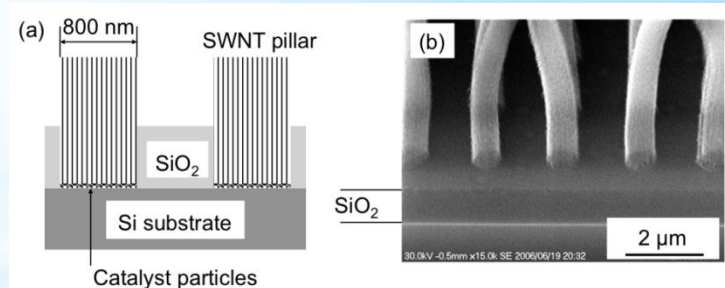


Carbon nanotubes

<http://www.intechopen.com/books/carbon-nanotubes-synthesis-characterization-applications/aligned-growth-of-single-walled-and-double-walled-carbon-nanotube-films-by-control-of-catalyst-prepa>



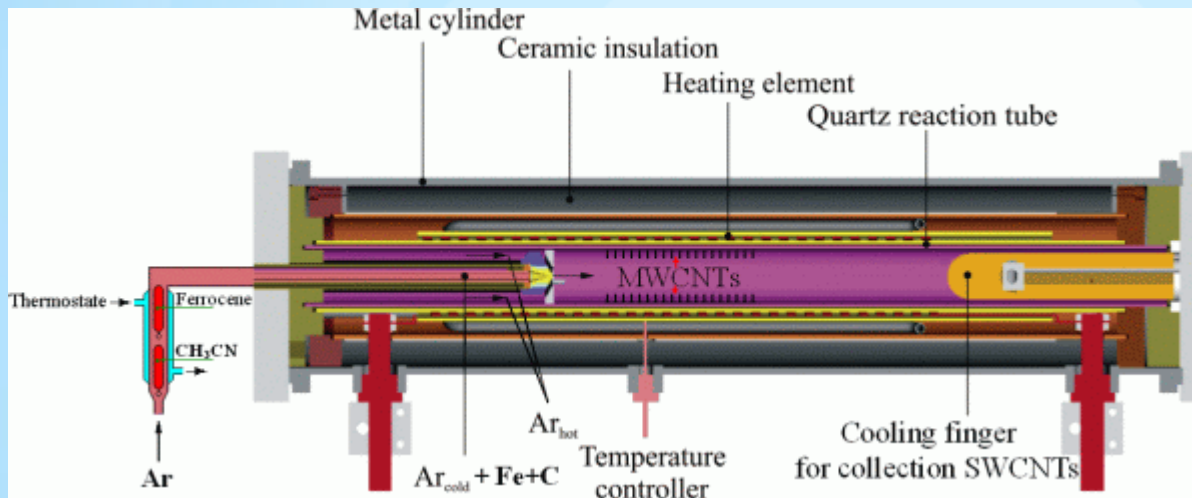
Schematic of microwave plasma-enhanced CVD system used for CNT growth



CNTs rostou od spodu

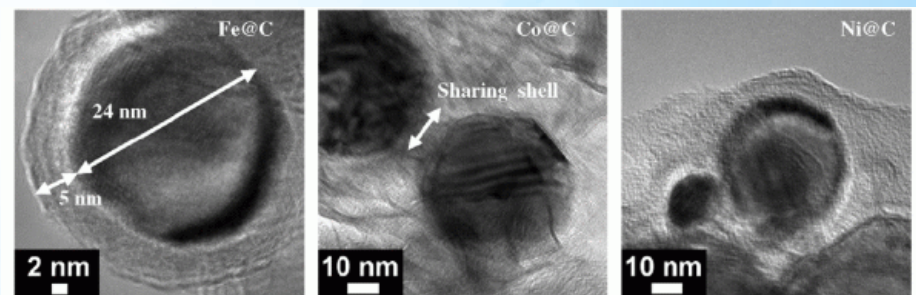
a) Schematic of vertical SWNTs embedded in holes drilled in SiO_2 film on Si substrate. (b) SEM image of SWNT cylindrical pillars of 800 nm in diameter, grown from the bottom of holes drilled in SiO_2 film. ([Hiramatsu et al., 2007b](#)) - reproduced with permission from Institute of Pure and Applied Physics

Pěstování metal NPs encapsulated v CNTs pomocí CVD



High-pressure CVD reactor developed in IFW-Dresden
(Pressure: 1...40 bar;
Temperature up to 1100 °C)

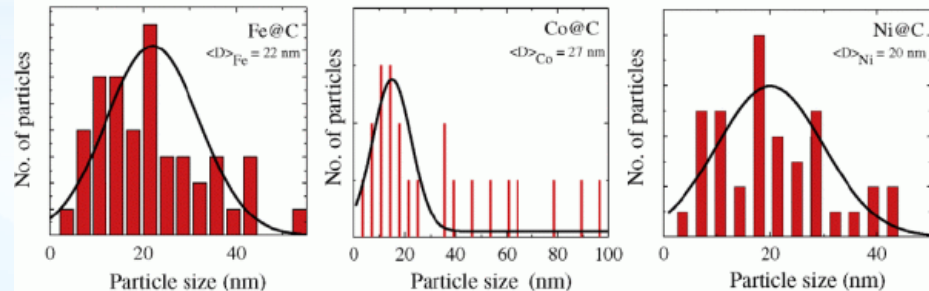
TEM images and size distribution of Fe@C, Co@C, and Ni@C nanoparticles



Nanočástice Fe obalená uhlíkem

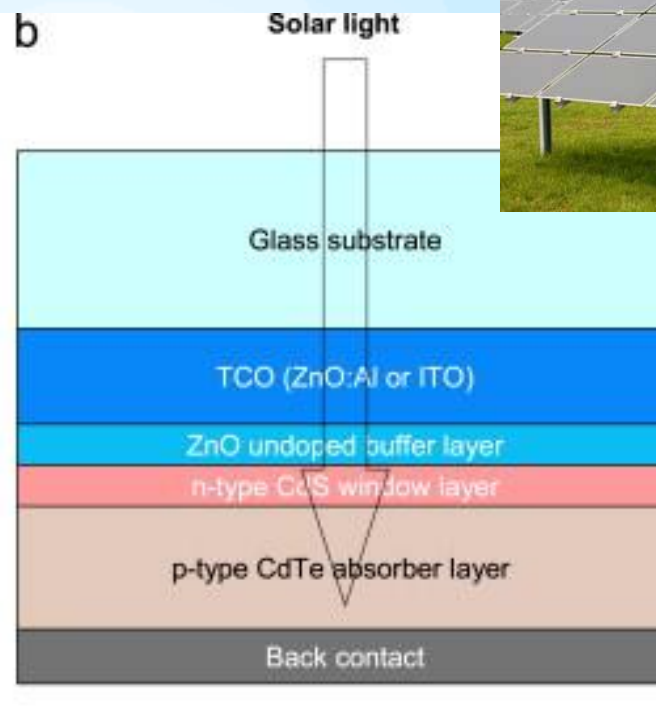
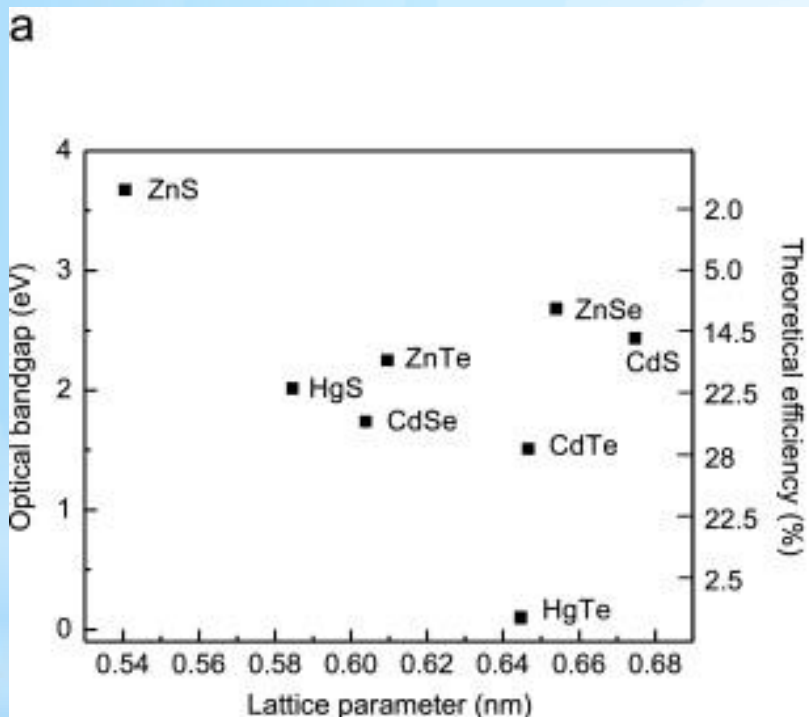
<http://www.ifw-dresden.de/institutes/iff/research/Carbon/CNT/protected-nanoparticles>

Nanočástice PS 2012



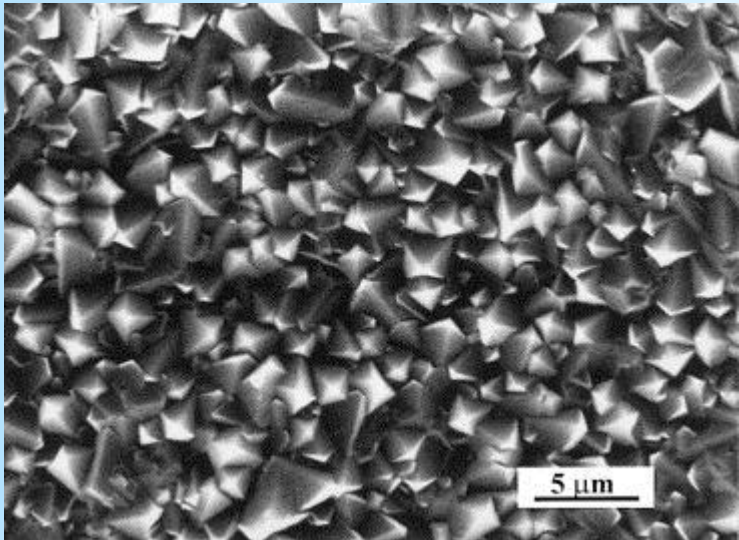
Příprava vrstev pomocí CVD

Fotovoltaika – solar cells



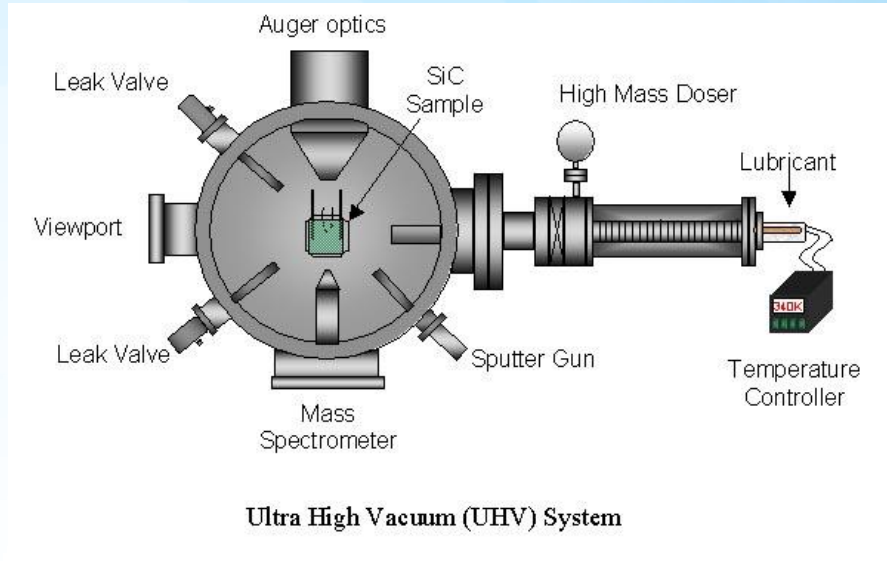
Schematic structure of the Sanyo HIT solarcell. Note that the surface of crystalline Si is textured although not shown in the image.

Příprava vrstev pomocí CVD



Control of microstructure coarsening of a Ti substrate during diamond film deposition using Ar/H₂/CH₄ gas mixture

<http://www.sciencedirect.com/science/article/pii/S0040609099007506>



<http://uhv.cheme.cmu.edu/people/>

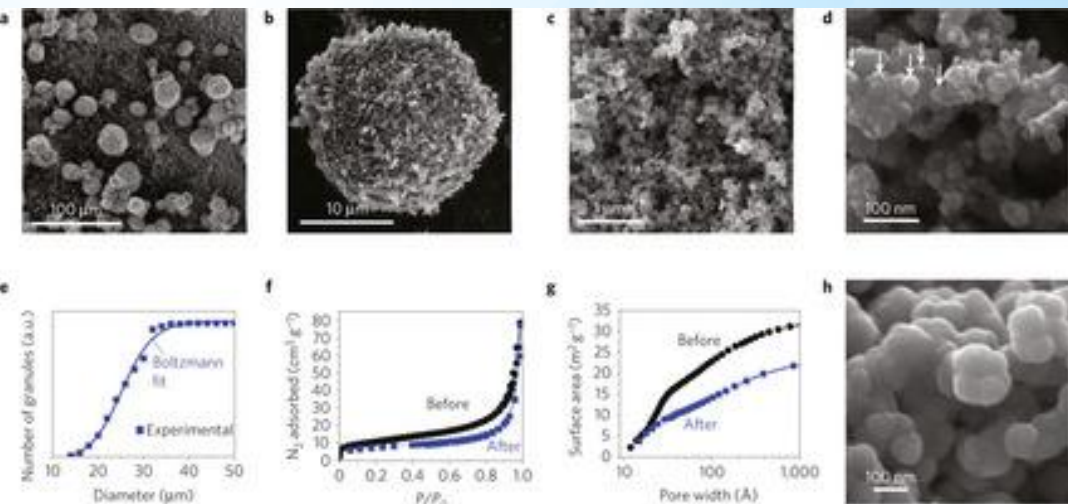


Poznámky k PVD a CVD

- Nutný vhodný systém k produkci plynnej faze a omezení nežádoucích dějů
- Kondenzací vzniká velké množství malých NPs rozhoduje kritická velikost a rychlosť nukleace ktoré sú funkčí presycenja :

$$x^* = \frac{4\gamma M}{\rho N k_B T \ln(P/P_0)}, \quad J \propto \frac{(P/P_0)^{n+1}}{\left[\ln(P/P_0)\right]^2}$$

- Nutná pokondenzačná kontrola (teplotný gradient, gradient parciálneho tlaku kondenzujúcich složiek).
- Nepríznivé děje: koalescence, nekontrolovaný růst, aggregace, vedlejší produ



Technologicky
drahý proces

Syntéza v strukturováných médiích

Ovlivnění kinetiky růstu vnějšími podmínkami
(tvarem matrice):

- Micelles/Microemulsions
- V zeolitech
- Na pevných vrstvách
- Molekulární síta
- Gely
- Polymery
- Skla

Disperzní soustavy

Disperzní systém

Disperzní podíl

Plyn Kapalina

Plyn

Netvoří
(Plyny
jsou
mísitelné)
aerosol
(mlha)
Příklad:
mlha

Pevná
látky

aerosol
(dým)
Příklady:
kouř,
mrak

Disperzní
prostředí

Kapalina

Pěna
Příklady:
šlehačka,
pivní
pěna

Emulze
Příklady:
mléko,
majonéza,
, krémy
na ruce

sol
Příklady:
inkoust,
krev,
barviva

Pevná
látky

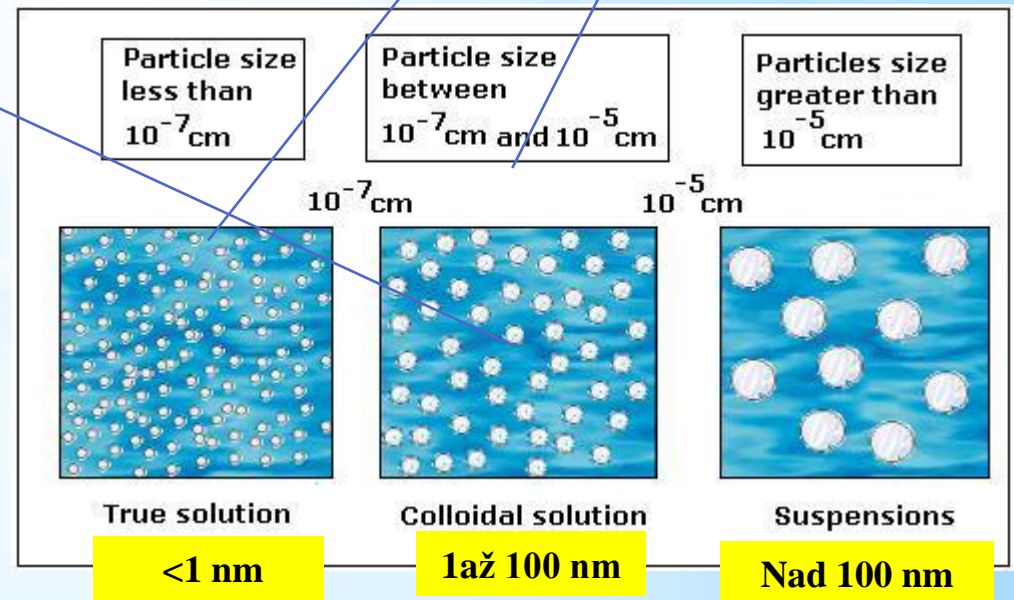
Tuhá
pěna
Příklady:
aerogel,
pemza,
pěnové
plasty

Tuhá
emulze
Příklad:
černý
fosfor

Tuhý sol
Příklady:
drahoka
my,
polodrah
okamy,
barevná
skla



kapalina + liquid nebo solid particles



Koloidní metody přípravy NPs

Příprava NPs =
Renesance
koloidní chemie
(pod 1um)

Surfaktanty –
látky s hydrofilním a
hydrofobním koncem

Vznik micely v polárním rozpouštědle (voda)

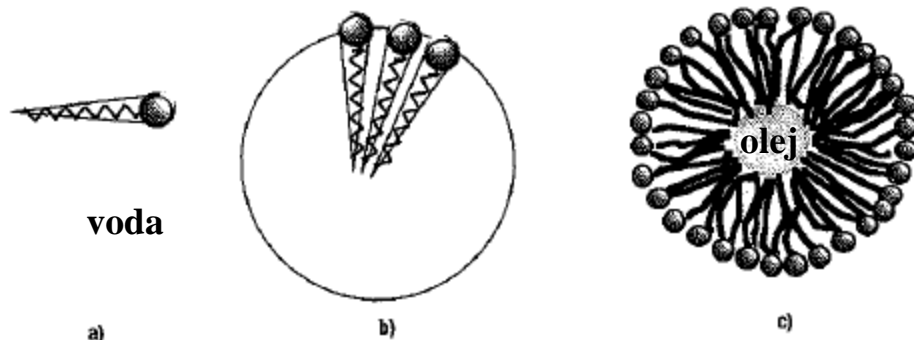
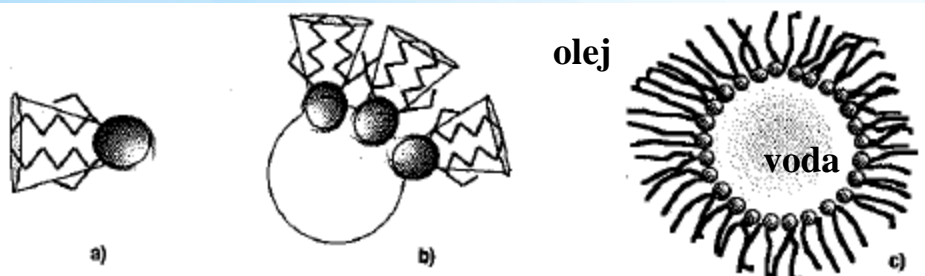


Fig. 18.1. Formation of a micelle. (a) Surfactant with bulky polar head and short chain. (b) Surfactants join together. (c) A micelle forms

Vznik reverzní micely v nepolárním rozpouštědle (alkany, oleje)



Surfaktanty (PAL)

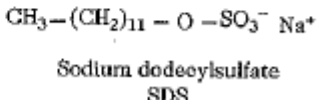
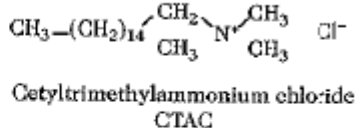
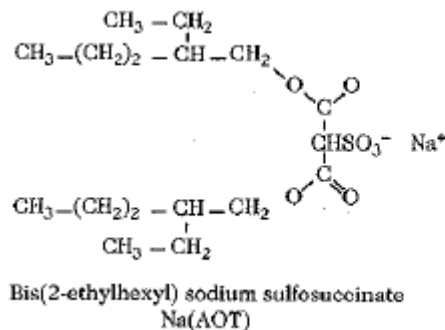
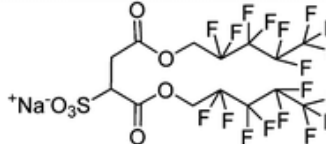
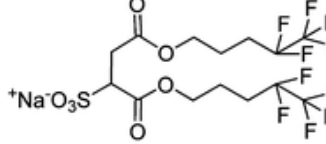
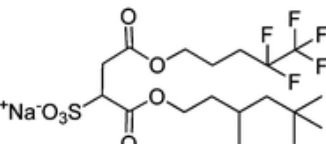
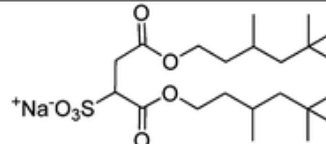
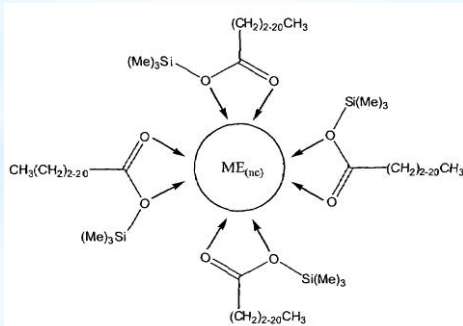


Fig. 18.7. Chemical formulas of the most commonly used surfactants

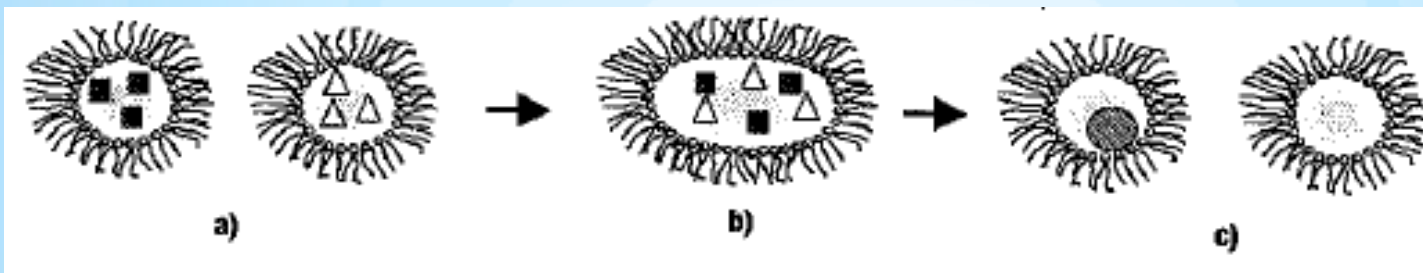
	Surfactant Structure	Chemical Name
di-CF4		sodium bis (1 <i>H</i> ,1 <i>H</i> -perfluoropentyl)-2-sulfosuccinate
di-CF2		sodium bis (4 <i>H</i> ,4 <i>H</i> ,5 <i>H</i> ,5 <i>H</i> ,5 <i>H</i> -pentafluoropentyl)-2-sulfosuccinate
hybrid CF2/AOT4		sodium (4 <i>H</i> ,4 <i>H</i> ,5 <i>H</i> ,5 <i>H</i> ,5 <i>H</i> -pentafluoropentyl-3,5,5-trimethyl-1-hexyl)-2-sulfosuccinate
AOT4		sodium bis(3,5,5-trimethyl-1-hexyl)-2-sulfosuccinate

Interakce PAL s NPs (Ize nahradit jinou PAL s vyšší afinitou k NPs)



Dynamika chování reverzních micel

Vzájemná výměna obsahu v důsledku Brownova pohybu



Definice obsahu vody v soustavě:

$$w = [\text{H}_2\text{O}] / [\text{SA}]$$

Fig. 18.3. Exchange of aqueous cores. (a) Reverse micelles subject to Brownian motion. (b) Collapsed reverse micelles and mixing of aqueous contents. (c) Formation of two micelles, identical to the initial micelles

Střední objem reverzních micel závisí často lineárně na w

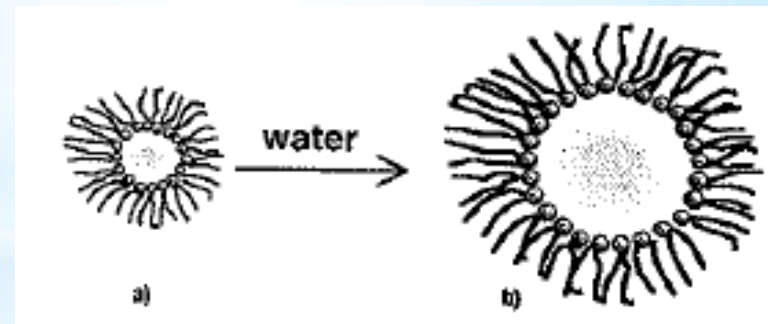
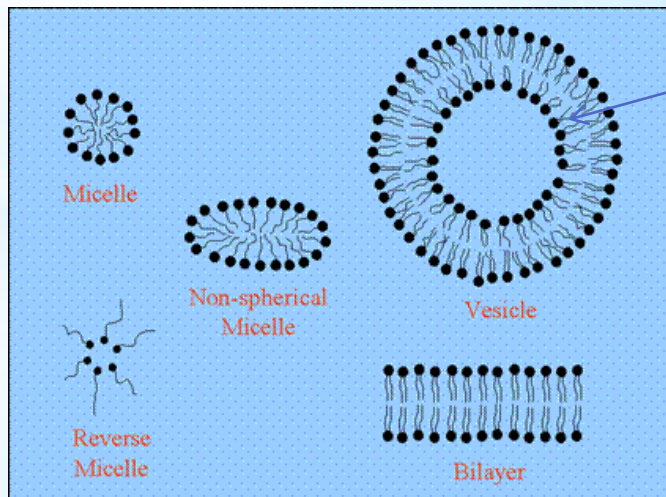
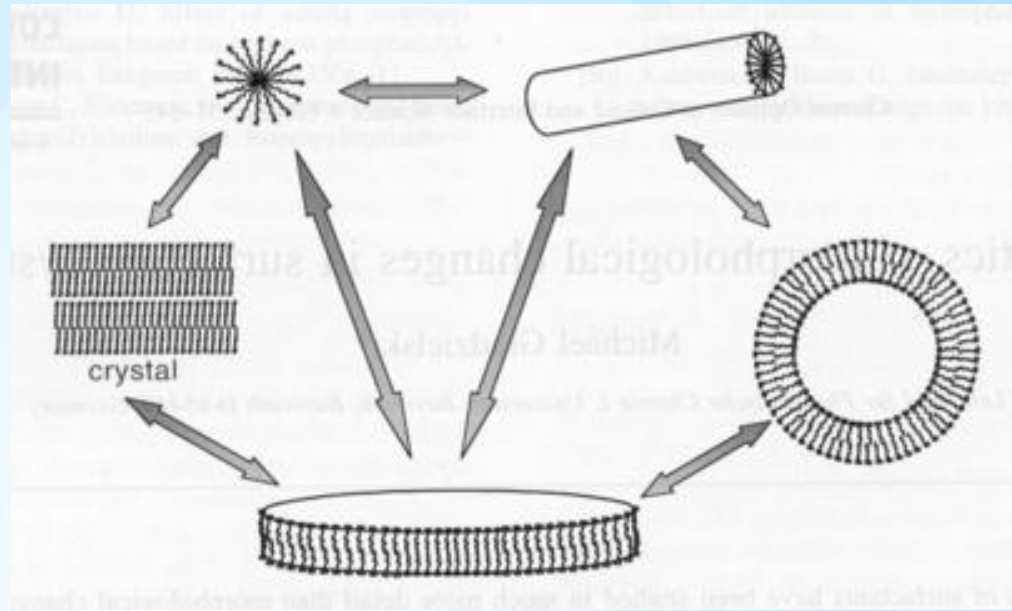
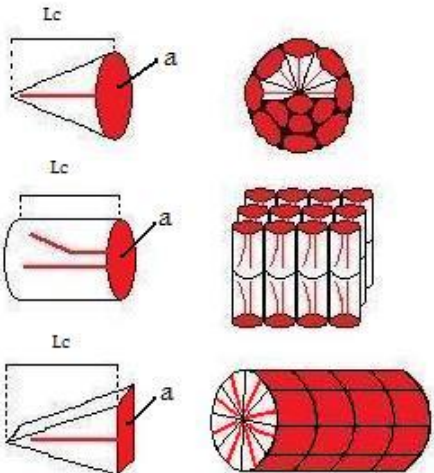


Fig. 18.4. Controlling the size of reverse micelles by water content w . (a) $w = 2$. (b) $w = 20$

Morfologie micelárních struktur

Ovlivnění tvaru
micel tvarem PAL:



Lipidická struktura

K samostudiu: http://soft-matter.seas.harvard.edu/index.php/Surfactant_phases

Morfologie reverzních micel

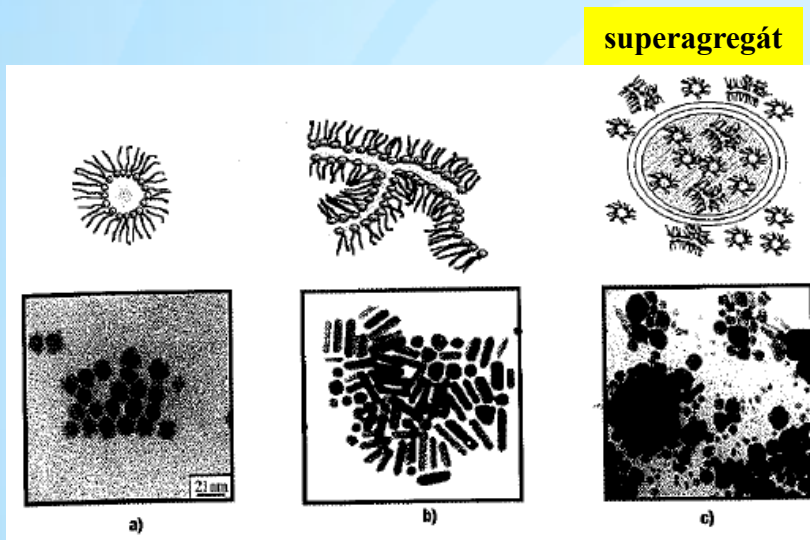
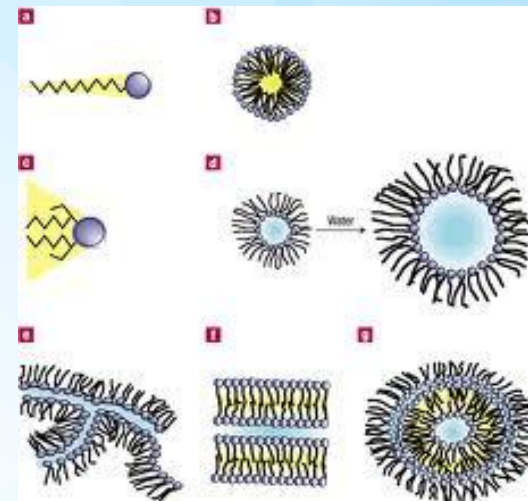


Fig. 18.11. Copper nanocrystals synthesised in different phases of the water/surfactant/oil system. (a) Spherical nanocrystals synthesised in reverse micelles. (b) Spherical and cylindrical nanocrystals synthesised in the interconnected cylinder phase. (c) Mixture of nanocrystals of different shapes synthesised in superaggregates



superagregát

Na tvar micel usuzujeme z tvaru NPs, které v nich vznikají

Vliv tvaru reverzních micel na výsledký produkt (NPs mědi).

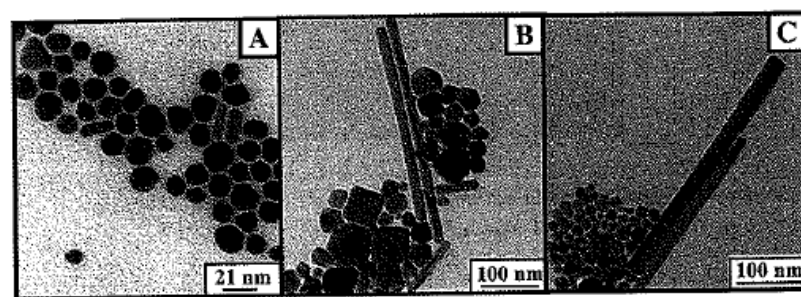


Fig. 18.12. Effect of NaCl concentration on the aspect ratio of copper nanocylinders. (A) $[NaCl] = 0\text{ M}$. (B) $[NaCl] = 5 \times 10^{-4}\text{ M}$. (C) $[NaCl] = 1.1 \times 10^{-3}\text{ M}$

Rovnovážný stav micelárního roztoku

V daném micelárním roztoku se ustaluje určitá velikost (lze napomoci např. ultrazvukem) a tvar micel (minimální energie)

Syntéza Ag v micelách

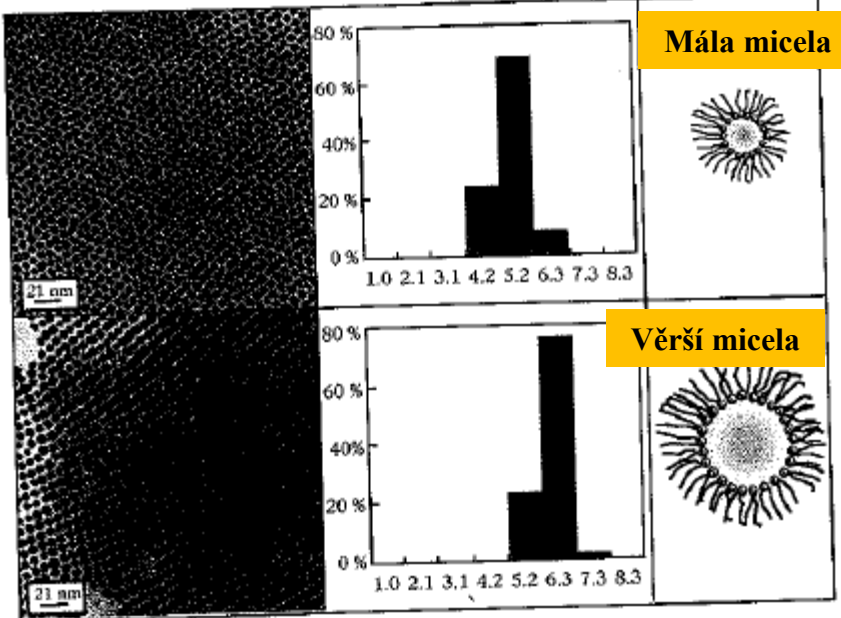
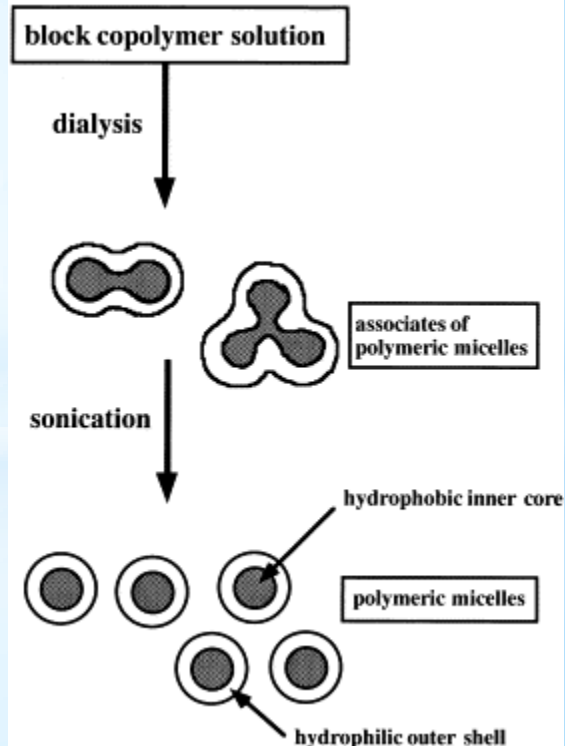
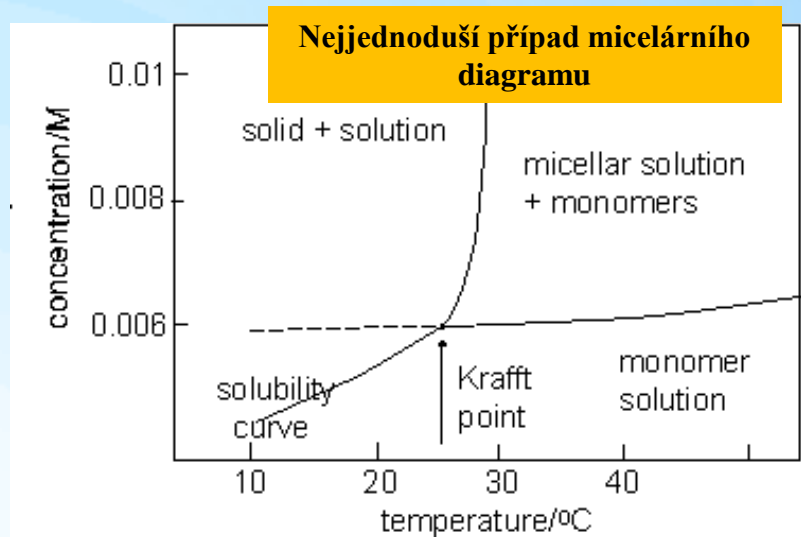
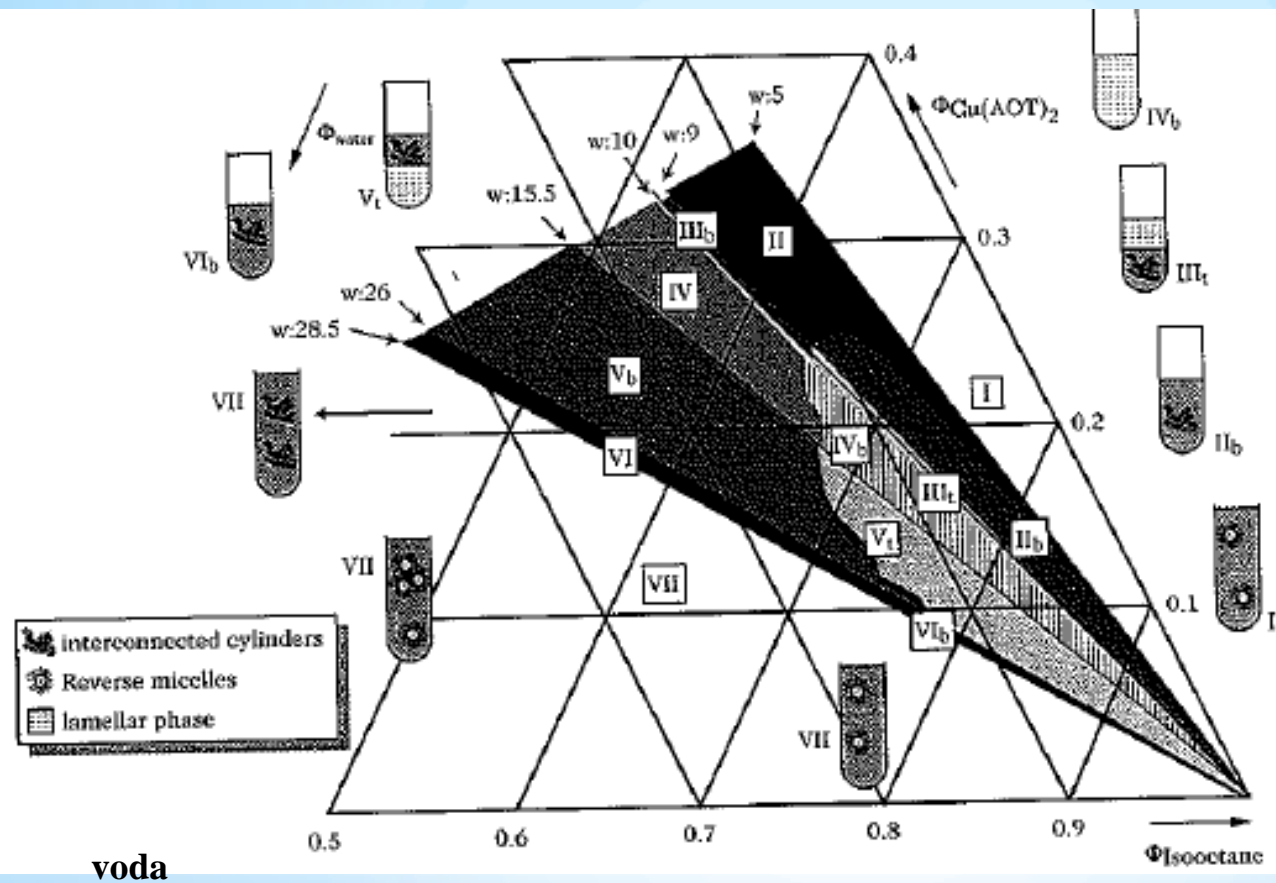


Fig. 18.8. Controlling the size of silver nanocrystals via the size of the nanoreactor. Nanocrystals with average diameter (a) 5.2 nm and (b) 6.3 nm, together with the corresponding size histograms



Fázový diagram soustav polární-nepolární-surfaktant



Funkcionalizovaný surfaktant:
surfaktant je svázán s prekurzorem nanočástice.

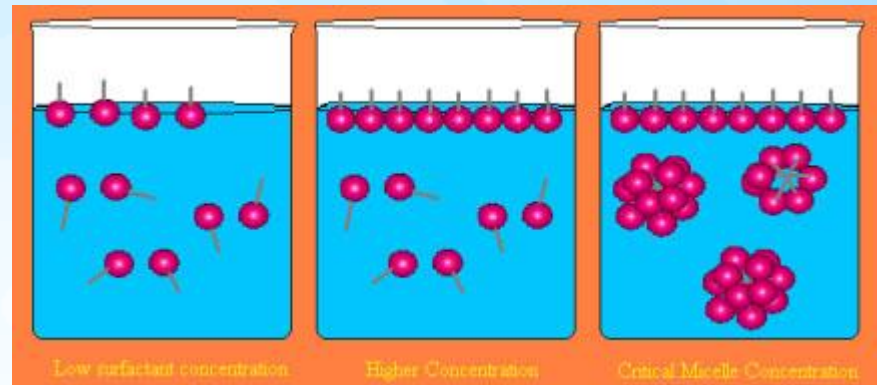
Reaktant ve formě protiontu:

Cu(AOT)₂ nebo Ag(AOT)
Připravený ve vodném prostředí smícháním Na(AOT) s CuSO₄ či AgNO₃

Fig. 18.6. Phase diagram of the water/Cu(AOT)₂/isooctane ternary system. By gradually increasing the amount of water in a solution of Cu(AOT)₂ in isooctane, seven regions appear in the phase diagram. Each corresponds to a different association of phases. The boundaries of each region appear along a line of constant $w = [\text{H}_2\text{O}]/[\text{SA}]$, i.e., a line of constant water content. These transitions correspond to discontinuities in the level of surfactant hydration in the complex fluid. They are numbered from I to VII, with two- and three-phase systems indicated by b or t, respectively

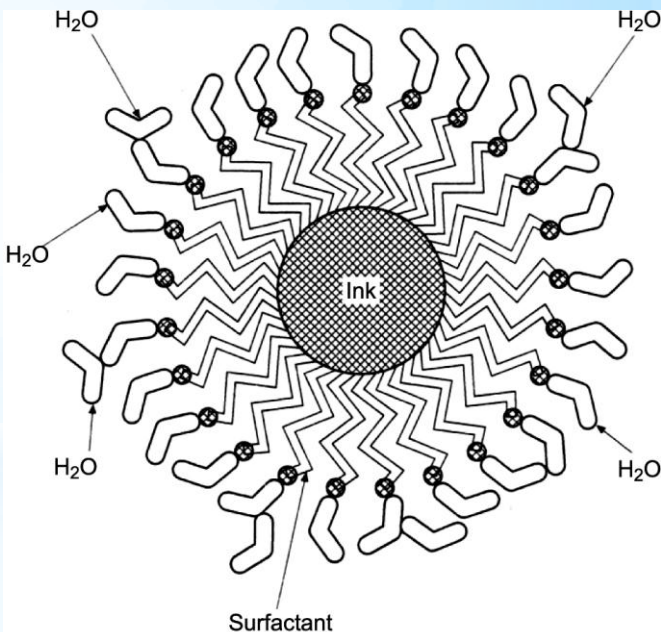
Transport hmoty v micelárním roztoku

Reorganizace micelárních struktur (výměnné reakce s disperzním prostředím)



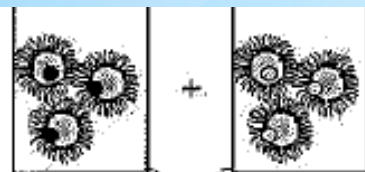
Složení micelární vrstvy (zbytková voda, adsorbční vrstvy)

Transport látek přes micelární membrán (O₂, CO₂, jednoduché látky)



Note: The polar end of the surfactant molecule attaches to water, the non-polar end attaches to the ink particle. An emulsion is formed of the two components

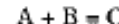
Nanoreaktory (1-5000nm³)



Mixture of two micelle solutions,
each containing one reactant



Reaction and formation
of nanocrystals during exchange
of aqueous cores



Addition of molecules of passivating agent
to prevent the aggregation of nanocrystals



Passivating molecules react with the
surface of the nanocrystals

Nanocrystals extracted from micelles
by washing with ethanol, then redispersing
in a given solvent

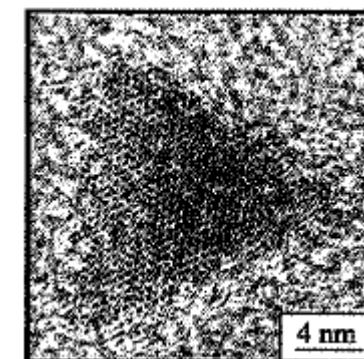


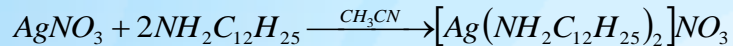
Fig. 18.9. Synthesis and extraction of nanocrystals

**Reverzibilní micela =
nanoreaktor= template (forma)
pro syntézu NPs**

- **Nanoreaktory jsou velmi účinné**
- **Kontrola velikosti, distribuce, „tvaru“**
(synergie s preferencí krystalových rovin),..NPs
- **Je možno připravovat NPs citlivé na běžné lab. prostředí (Metal NPs)**

Příklad použití nanoreaktoru - příprava Ag NPs na ÚCh

• 1 KROK: Příprava dusičnanu (bis) dodecylamin stříbrného v acetonitrilu



3hod míchání, filtrace, sušení

Acetonitril rozpouští AgNO₃ i surfaktant, komplex s dodecylaminem je funkcionálizovaný surfaktant, rozpustnost i disociace v acetonitrylu je potlačena.

• 2 KROK: Solvotermální rozklad dusičnanu bis(dodecylamin) stříbrného

„10 g dusičnanu bis(dodecylamin) stříbrného s 20 g dodecylaminu a 0,25 ml ethanolu“



„Při teplotě okolo 170°C se objevuje charakteristické modré zrcátko na hladině směsi a po stěnách reakční baňky. Reakční směs je poté 15 min udržována v rozmezí teplot 190-200 °C.“

Jedná se o reverzní micelární nanoreaktor v němž probíhá redukce Ag⁺ za vzniku nanokrystalu Ag NPs.

Jaká je role NO₃⁻ při růstu nanokrystalu ?

Jaký je tvar micely ? (zřejmě koule)

Co se oxiduje ? (NH₂ skupina na N?, nebo alkohol?)

Co brání agregaci ? Mají být AgNPs modré či hnědé?

Jsou Ag NPs modré či hnědé?

Jaké děje probíhají při promývání a převodu do toluenu ?

V kterém kroku se odstraňuje přebytečný dodecylamin?

„Pro stanovení metodou DLS byla 3krát promyta hexanem, odstředěna a dekantována. Výsledná sraženina byla roztržepána v toluenu a ponořena do ultrazvukové lázně po dobu asi 20 sekund. ,

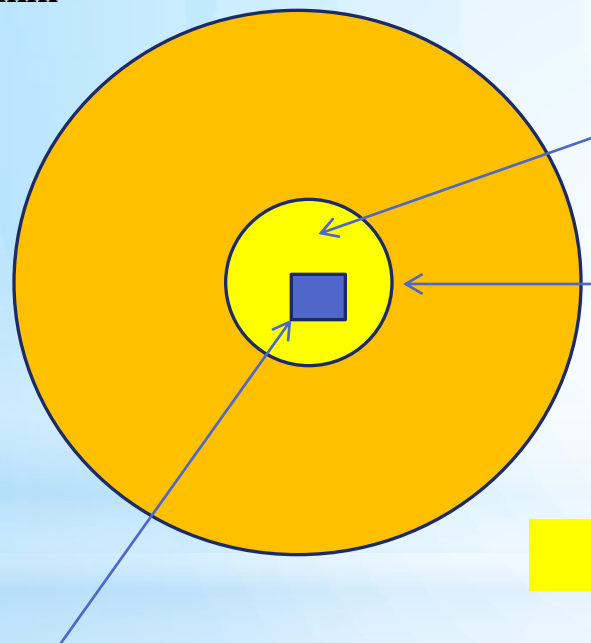
Nanočástice PS 2012

„Pro nízkoteplotní sintraci byla reakční směs 3krát promývána acetonom, odstředována a výsledná sraženina roztržepána v toluenu. ,

Příklad použití reverzní micelární syntézy: Příprava Ag NPs na ÚCh



Dodecylamin



Metanol + NO_3^-

$^+\text{Ag} (\text{NH}_2\text{-C}_1\text{H}_2\text{C}_5)_2$

Redukce Ag^+ ($t=190-200\text{stC}$)

Růst Ag krystalu (krystalové roviny ovlivněny NO_3^-).



Velikost syntetizovaných Ag NPs + info z literatury

Results

Z-Average (d.nm): 16,02

Pdl: 0,224

Intercept: 0,775

Result quality Good

Size (d.nm...)

% Intensity

Peak 1: 17,00

96,3

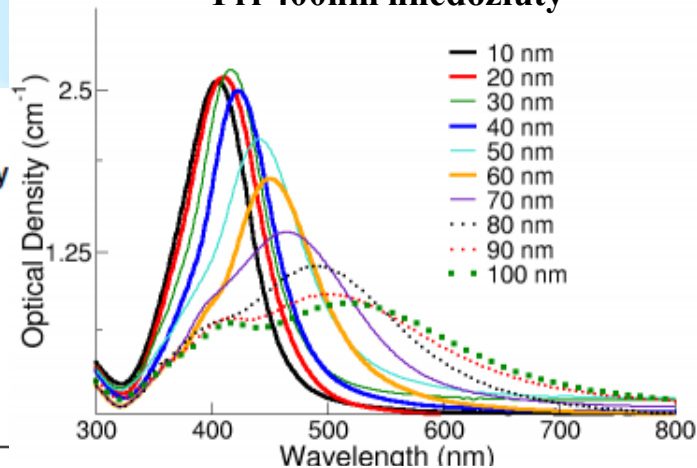
Peak 2: 4754

3,7

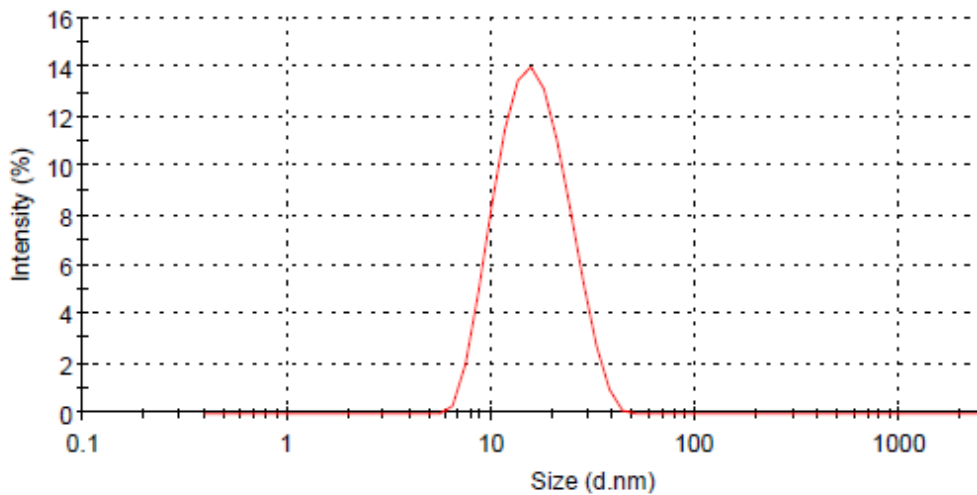
Peak 3: 0,000

0,0

Vzorek adsorbující pří 600nm se jeví modrý
Při 400nm hnědožlutý

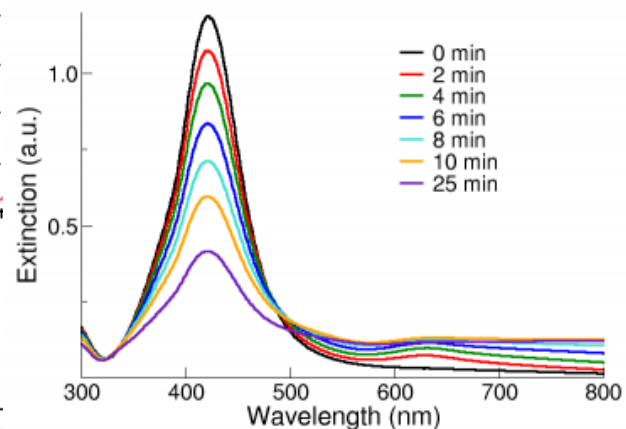


Size Distribution by Intensity



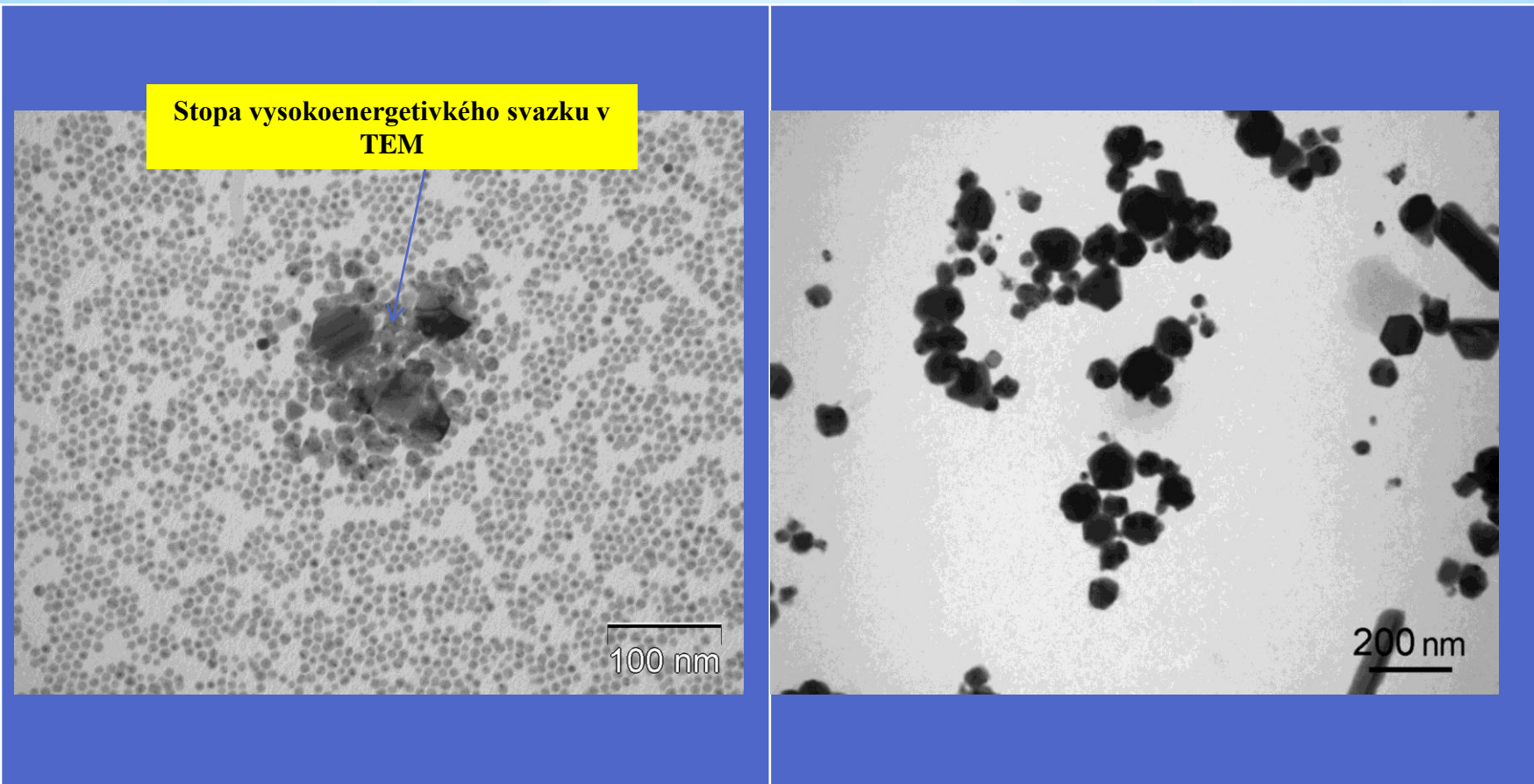
Record 71: VV_Ag3_toluene, filtr 450nm z ultrazvuku 2

Extinction (the sum of scattering and absorption) spectra of NanoXact silver nanoparticles with diameters ranging from 10 - 100 nm at mass concentrations of 0.02 mg/mL. BioPure nanoparticles have optical densities that are 50-times larger.)



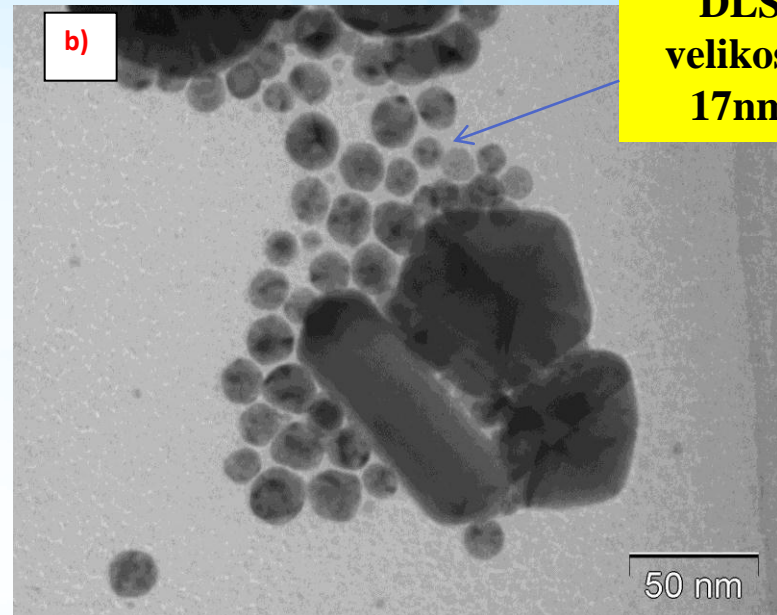
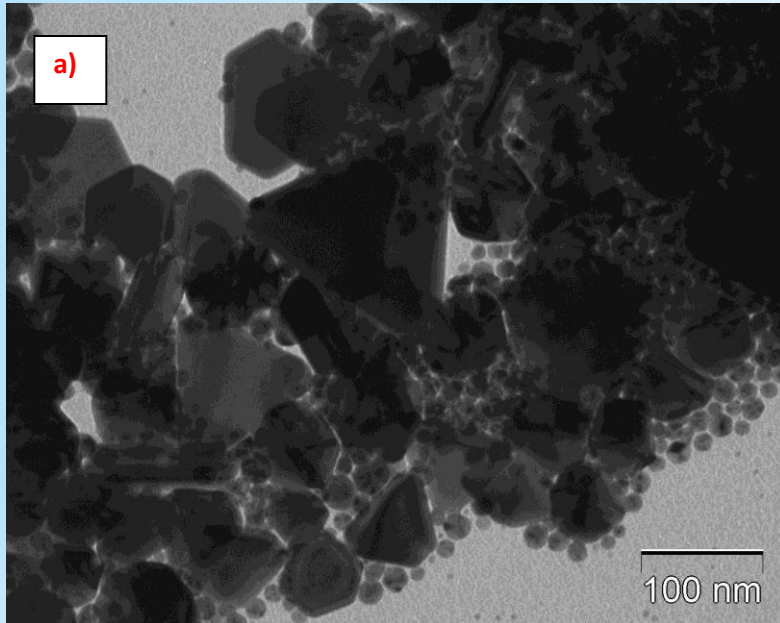
Extinction spectrum of 50 nm NanoXact silver nanoparticles undergoing aggregation.

Mikroskopie „správných“ Ag NPs na ÚCh



Obr.1. Bimodální distribuce Ag-nanočástic po syntéze (vlevo) a po 250 dnech skladování v toluenu (v pravo). TEM.

Mikroskopie „neoptimálních“ Ag NPs na ÚCh



Obr.3.: Ag-nanočástic po neoptimální syntéze.
Bimodální distribuce (v levo). Zakázaná symetrie dodecaedru fcc Ag (s pětičetnou osou symetrie) na obrázku uprostřed (v pravo). TEM.

**Problém: jak zajistit optimální
množství zbývajícího surfaktantu**

Vliv jiných látek a PAL na přípravu NPs

Anionty
ovlivňující
povrchovou
energií kryst.
rovín

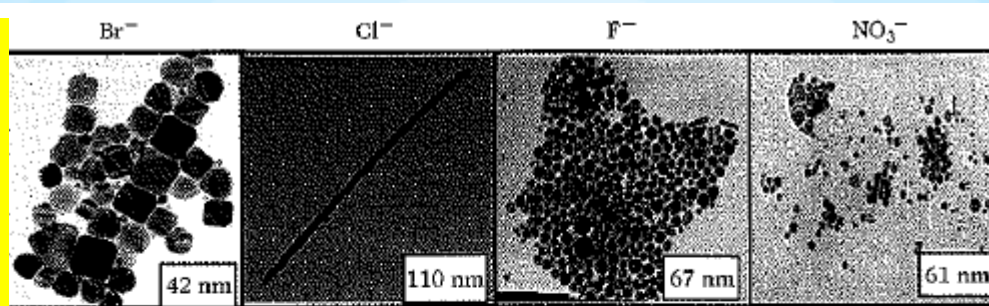
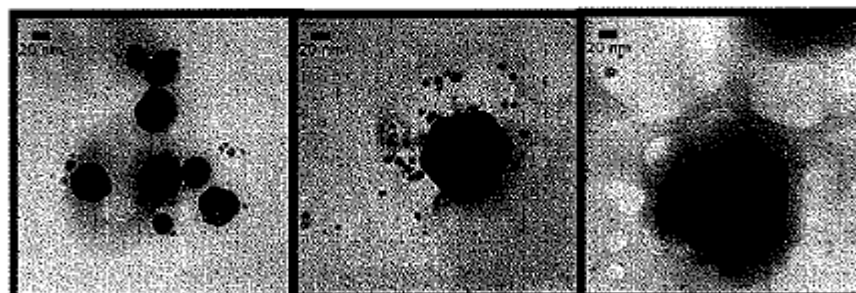


Fig. 18.13. Effect of different anions on the shape of copper nanocrystals

PAL podporující
vznik nanodisků
různé velikosti



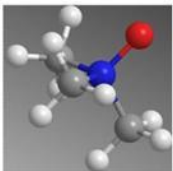
červená

zelená

šedá

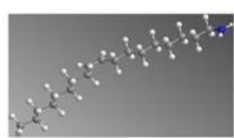
Fig. 18.14. Controlling the size of silver nanodisks by the amount of reducing agent.
Solutions of silver nanodisks of different sizes. See also the colour plate

Využití nanoreaktorů při syntéze $\text{WO}_{(3-x)}$ nanotyček

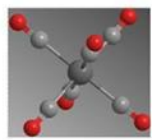


TANO

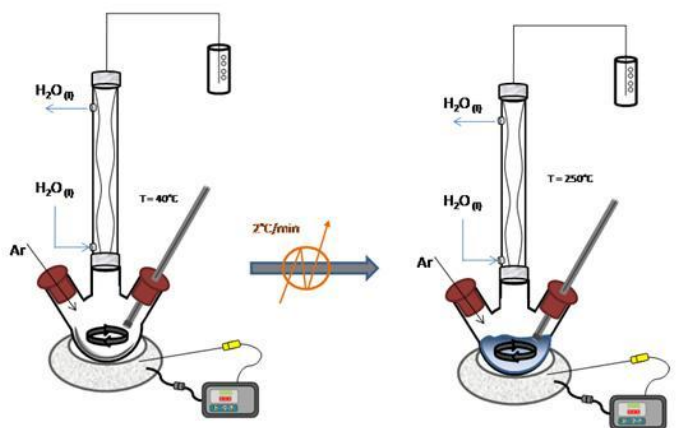
$\text{Me}_3\text{NO}\cdot 2\text{H}_2\text{O}$
(Trimethylamine N-oxide)



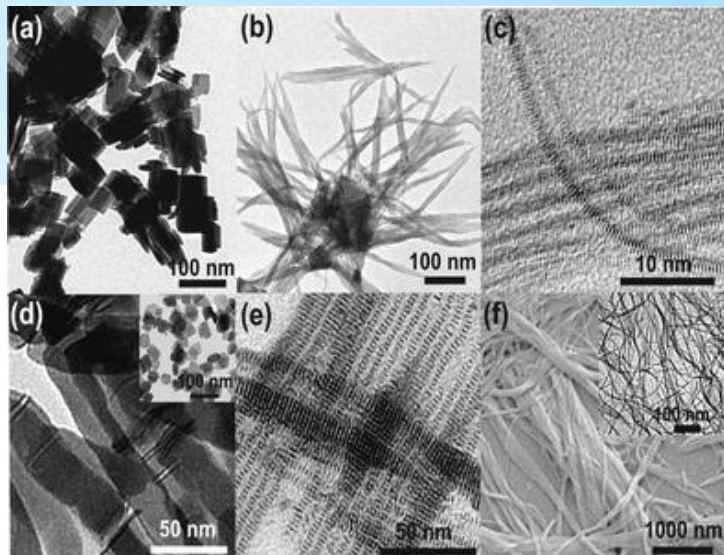
Oleylamine



$\text{W}(\text{CO})_6$



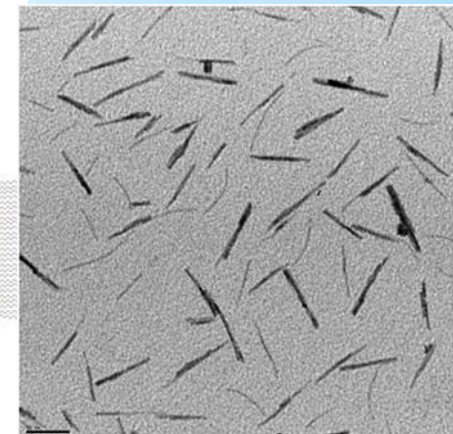
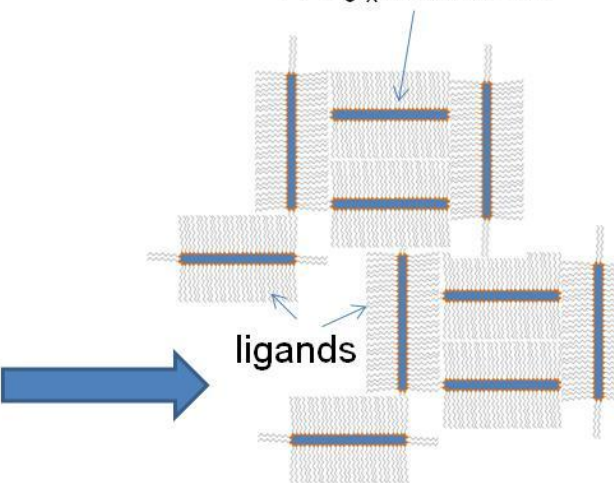
Nanočástice PS 2012



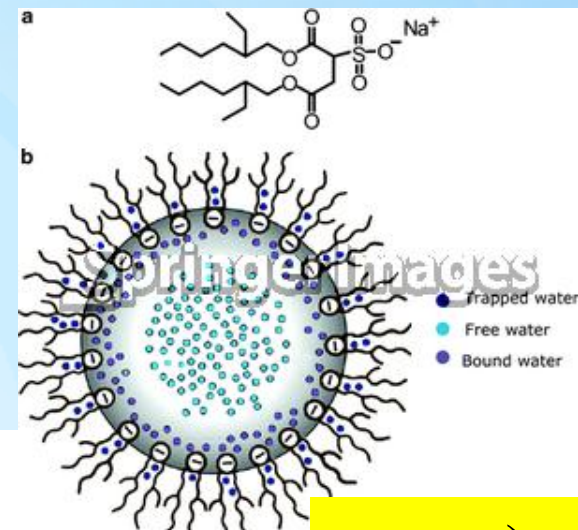
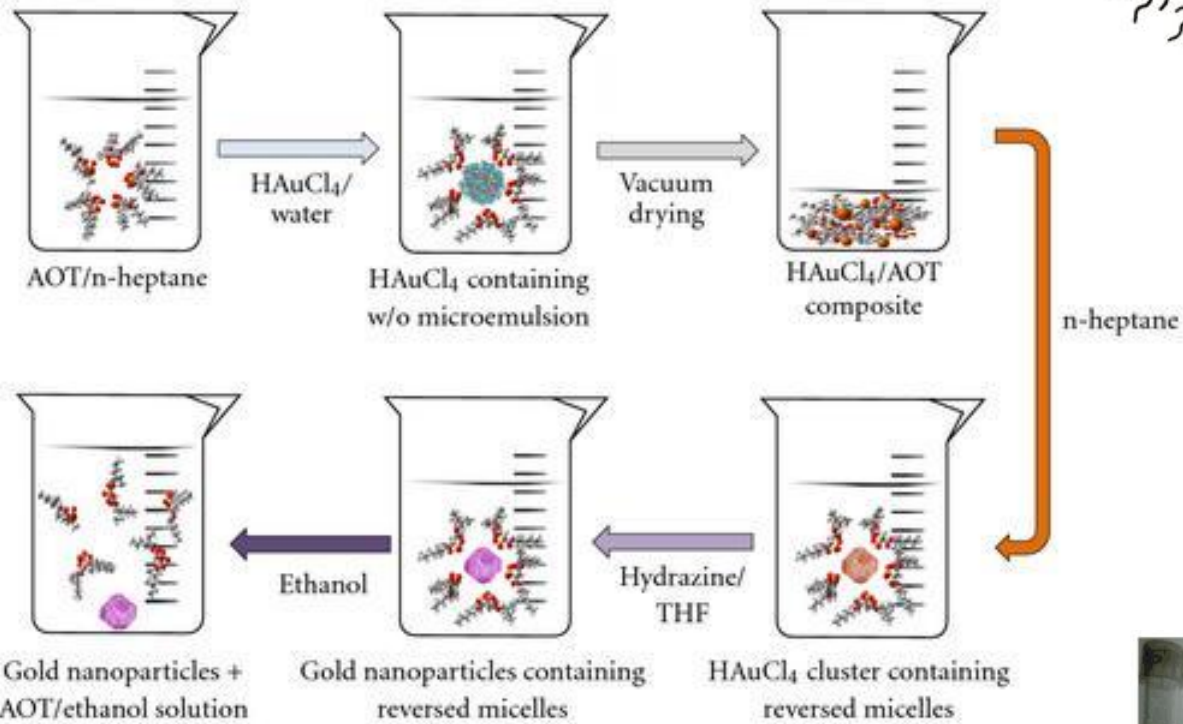
W oxid NPs – různé formy

<http://pubs.rsc.org/en/content/articlehtml/2008/dt/b711529f>

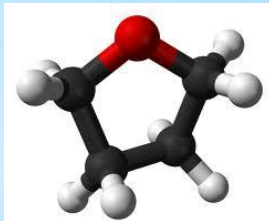
WO_{3-x} Nanorods



Redukční příprava Au Hydrazinem v reverzních micelách



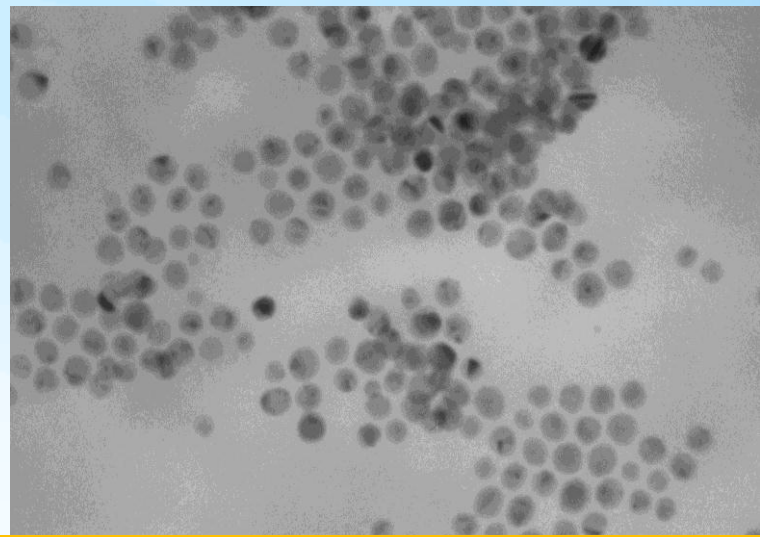
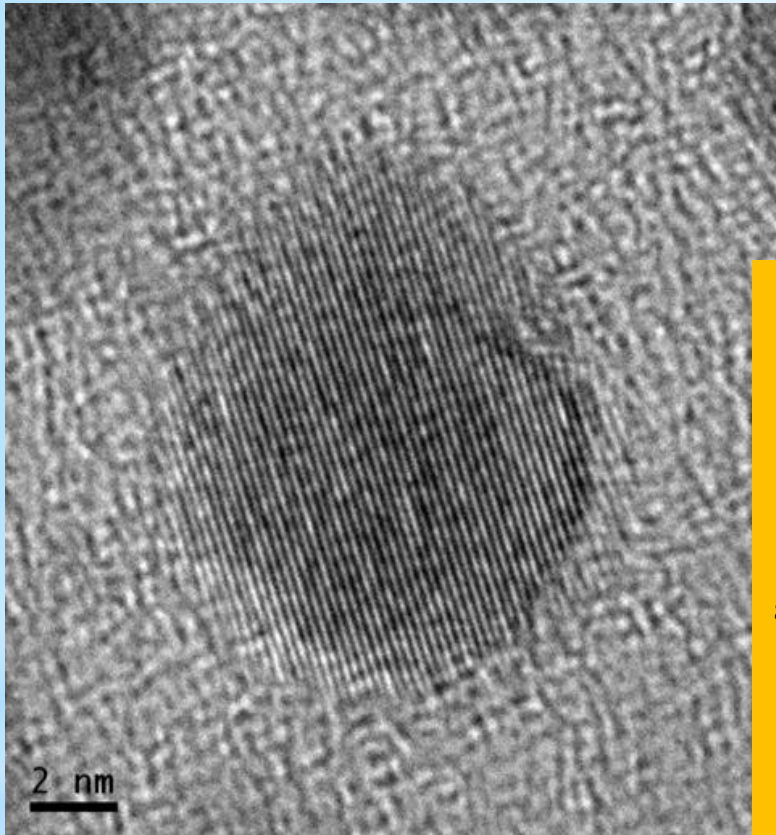
Na(AOT),
obsahuje
zbytkovou vodu



THF: Tetrahydrofuran

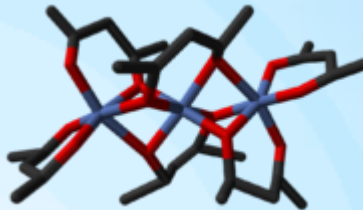
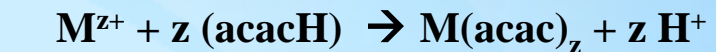
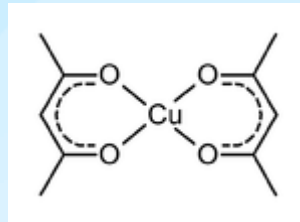
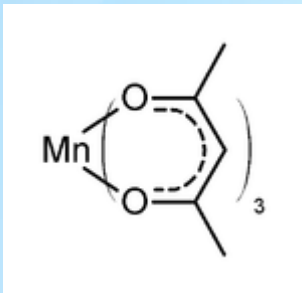


A co CuNi NPs?



The Cu-Ni alloy nanoparticles were prepared by solvothermal reaction from nickel acetylacetonate $\text{Ni}(\text{acac})_2$ and copper acetylacetonate $\text{Cu}(\text{acac})_2$ precursors in a particular stoichiometric ratio under an inert atmosphere of nitrogen [08Zha]. The molecular precursors were dissolved in oleylamine and this solution was injected into a hot solvent composed of 1-octadecene and oleylamine at 230 °C. As a heating bath, Sn-Pb solder was used. In the reaction mixture, the precursor metal cations were reduced at this temperature and formed the Cu-Ni nanoalloy colloid. The product was precipitated with methanol and washed with hexane several times and separated by centrifugation for 20 min on a Heraeus Labofuge 400 at 3000 rpm. The powders were washed to remove organic-soluble residues by three cycles of resuspending them in hexane or light petroleum and subsequent centrifugations. Thus the colloidal solution of the Cu-Ni NPs in hexane was prepared.

Syntéza ?



Metal acetylacetonates viz:

http://en.wikipedia.org/wiki/Metal_acetylacetonates

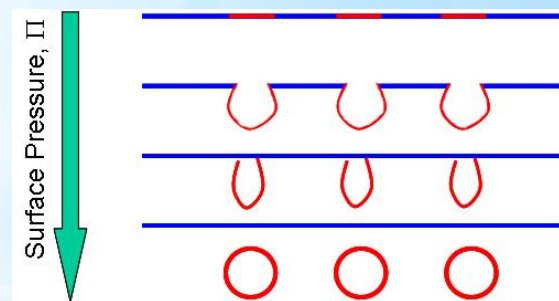
The molecular precursors were dissolved in oleylamine and this solution was injected into a hot solvent composed of 1-octadecene and oleylamine at 230 °C. As a heating bath, Sn-Pb solder was used.

Vznik micel (vstříknutí, míchání)?

Redukce směsi $M(\text{acac})_z$?

Jak je to s redox potenciálen Cu a
Ni z prekurzorů?

1-octadecene



- Ag-nano, SnAg-nano, SnAgZn-nano, CuNi

Syntéza Me NPs v roztoku reverzních micel:

Organické prekursory kovů:

- Komplexy kovů ($\text{Me}(\text{AcAc})_z$,
- Funkcionalizované surfaktanty (viz Ag NPs)

Ovlivnění tvaru:

- Molekulární adsorbce během růstu
- Rozpouštědlo v rev. Micele (podpora různých typů micel)

Stabilizace:

-PAL

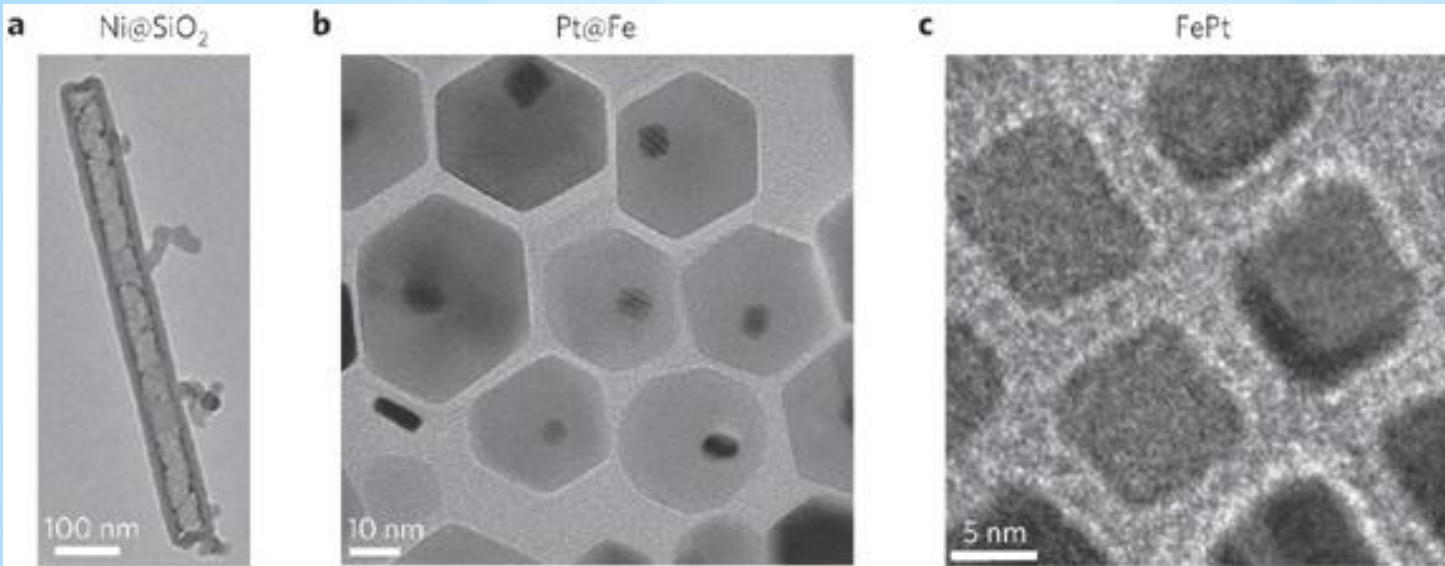
Redukční činidla:

- Organické alkoholy (CH_3OH , polymerní: PVA,...)
- Silná anorganika: NaBH_4 , Hydrazin,..
- Jiné organické látky

Promývání rozpouštědly:

- Dle vlastností
- Vymývání primárního rozpouštědla
- Srážení před odstředěním..

Diskuse



a, Size-controlled Ni nanorods coated with SiO_2 . b, Pt nanoparticles embedded in hexagonally shaped Fe nanoparticles. c, Self-assembled cubic FePt nanoparticles with their (100) planes parallel to the substrate.

Syntéza MeO NPs: <http://cnx.org/content/m23038/latest/>

http://www.nature.com/nmat/journal/v8/n2/fig_tab/nmat2363_F1.html

